

629.114.2

М 123

Министерство высшего и среднего
специального образования СССР

ЧЕЛЯБИНСКИЙ ПОЛИТЕХНИЧЕСКИЙ ИНСТИТУТ
имени ЛЕНИНСКОГО КОМСОМОЛА

*
На правах рукописи

Инженер МАГАРИЛЛО Б.Л.

ИССЛЕДОВАНИЕ ОПТИМАЛЬНЫХ ТЯГОВЫХ
УСИЛИЙ ГУСЕНИЧНОГО ПРОМЫШЛЕННОГО
ТРАКТОРА

Специальность 05.195 - "Автомобили и тракторы"

Автореферат
диссертации на соискание
ученой степени кандидата
технических наук

Челябинск - 1970

ЧПИ)



Министерство высшего и среднего
специального образования СССР

ЧЕЛЯБИНСКИЙ ПОЛИТЕХНИЧЕСКИЙ ИНСТИТУТ
имени ЛЕНИНСКОГО КОМСОМОЛА

На правах рукописи

Инженер МАГАРИЛЛО Б.Л.

ИССЛЕДОВАНИЕ ОПТИМАЛЬНЫХ ТЯГОВЫХ
УСИЛИЙ ГУСЕНИЧНОГО ПРОМЫШЛЕННОГО
ТРАКТОРА

Специальность 05.195 - "Автомобили и тракторы"

Автореферат
диссертации на соискание
ученой степени кандидата
технических наук

Челябинск - 1970

Работа выполнена в отделе Главного конструктора Челябинского тракторного завода им. В.И. Ленина.

Научный руководитель -
кандидат технических наук Б.М. ПОВИН.

Научный консультант -
доктор технических наук И.И. ТРЕПЕЧЕНКОВ.

Официальные оппоненты:

доктор технических наук, профессор М.Ф. БАЛЖИ;
кандидат технических наук, доцент В.И. ВИНОГРАДОВ.

Ведущее предприятие - Челябинский завод дорожных машин им. Колющенко.

Автореферат разослан "7" сентября 1970г.

Защита диссертации состоится
на заседании Совета автотракторного и механико-технологического факультетов Челябинского политехнического института им. Ленинского комсомола (г. Челябинск - 44, проспект им. В.И. Ленина, 76).

С диссертацией можно ознакомиться в библиотеке института.

Ученый секретарь Совета -
кандидат технических наук, доцент заседание /С.Ф. ХАРИН/

ПЕРЕЧЕНЬ ПРИНЯТЫХ ОБОЗНАЧЕНИЙ

- G - вес эксплуатационный, кГ;
 P_{kp} - расчетное свободное тяговое усилие, кГ;
 P_k - касательная сила тяги, кГ;
 N_n - номинальная мощность двигателя, л.с.;
 $N_{ug} = N_n/G$ - удельная мощность, л.с./кГ;
 M_g - крутящий момент двигателя, кГм;
 M_n - номинальный крутящий момент двигателя, кГм;
 M_c - момент сопротивления агрегата, приведенный к ведущему валу коробки передач, кГм;
 $\vartheta_{mn} = M_g/M_n$ - коэффициент загрузки двигателя по крутящему моменту;
 η_m - к.п.д. трансмиссии;
 η - тяговый к.п.д.;
 $\varphi = P_{kp}/G$ - расчетная удельная сила тяги;
 φ_{kp} - оптимальная удельная сила тяги агрегата;
 φ_l - удельная сила тяги при максимальном тяговом к.п.д.;
 φ_{max} - коэффициент сцепления, соответствующий буксированию на месте;
 δ - буксование движителя;
 $\lambda_a = G_a/G_t$ - коэффициент эксплуатационного веса агрегата;
 f - коэффициент сопротивления движению;
 f_{agop} - дополнительный коэффициент сопротивления движению агрегата при разработке грунта;
 i_{tp} - передаточное число трансмиссии;
 r_k - радиус ведущего колеса, м;
 n_n - номинальная скорость вращения коленчатого вала двигателя, об/мин;
 n - скорость вращения коленчатого вала двигателя в рабочем режиме, об/мин;
 $n_{pri} n_{xx}$ - число оборотов ведущих колес в период рабочего и холостого ходов;

x/ Обозначения в тексте, снабженные индексом "T", относятся к параметрам трактора, "a" - агрегата (например G_t и G_a)

$n_{\text{ц}}$ - число рабочих циклов агрегата;

V_p и V_{xx} - расчетные скорости движения на рабочем и холостом ходах, м/сек (км/час);

V_p^d и V_{xx}^d - действительные скорости движения на рабочем и холостом ходах, м/сек (км/час);

C_o и C_{xx} - коэффициенты потери скорости рабочего и холостого ходов;

C_p - коэффициент потери скорости рабочего хода из-за изменения скоростного режима работы двигателя;

C_δ - коэффициент потери скорости из-за буксования движителя;

σ - плотность грунта по ударнику ДорНИИ;

γ - объёмный вес грунта, кг/м³;

K - удельное сопротивление грунта резанию, кГ/м²;

W - относительная влажность грунта, %;

M_b - коэффициент, учитывающий сопротивление перемещению призмы волочения бульдозером;

Π - производительность агрегата, м³/час;

$V_{\text{разр.}}$ и $V_{\text{пер.}}$ - объём разработанного и перемещенного грунта, м³;

q - объём призмы волочения, м³;

Q - расход топлива за опыт (за вычетом расхода при нетехнологических простоях), кг;

q - удельный расход топлива, кг/м³;

l_H - длина разрабатываемого участка, м;

l_p и l_{xx} - длина пути рабочего и холостого ходов, м;

T_p - время, затраченное на разработку травщины (без нетехнологических простояев), сек;

T - время одного цикла, сек;

t_p и t_{xx} - время рабочего и холостого ходов, сек;

$t_{\text{пп}}$ - время, затраченное на переключение передач и маневрирование, сек.

ВВЕДЕНИЕ

XXIII съезд КПСС и последующие Пленумы ЦК КПСС поставили задачу обеспечения высоких темпов роста всех отраслей народного хозяйства нашей страны.

Реализация намеченных планов связана с выполнением значительного объёма земляных работ, который к 1980г. составит 24-26 млрд. кубометров - в 5,8 раза больше по сравнению с 1958г.

Большую долю этих работ производят землеройные агрегаты на базе гусеничных тракторов. Высокая эффективность предопределила их широкое распространение на строительстве каналов, гидроэлектростанций, шоссейных и железных дорог, при добыче полезных ископаемых, на сооружении различных промышленных объектов, при прокладке нефтегазопроводов.

Одним из основных направлений увеличения производительности машинно-тракторных агрегатов является увеличение их энергонасыщенности, в связи с чем большое значение приобретают вопросы правильного выбора основных параметров трактора: тягового усилия и скорости движения на рабочей передаче.

В результате теоретического и экспериментального исследований, выполненных в настоящей диссертации, получены зависимости производительности землеройного агрегата от основных параметров базового трактора. Эти зависимости позволили определить оптимальные тяговые усилия, при которых достигается максимальная производительность агрегата.

На основании результатов исследований даны рекомендации по улучшению параметров тяговых характеристик выпускаемых в настоящее время гусеничных промышленных тракторов.

ГЛАВА I. СОСТОЯНИЕ ВОПРОСА. ЗАДАЧИ ИССЛЕДОВАНИЯ

Разработка методов определения оптимальных параметров тракторов, агрегатируемых с сельскохозяйственными машинами и орудиями, посвящены труды Г.Ф.Алхимова, В.И.Анохина, В.Н.Болтинского, В.И.Виноградова, В.В.Гуськова, С.И.Иофинова, В.В.Кацыгина, Ю.К. Киртбая, Е.Д.Львова, В.И.Мининзона, А.П.Парфенова, И.П.Полканова,

В.И.Саипина, Б.С. Смирцевского, М.П.Сергеева, А.Г.Соловейчика, И.И.Трепененкова, Е.М.Харитончика, Д.А.Чудакова и других ученых.

Установлено, что наибольшая эффективность сельскохозяйственных агрегатов, в которых гусеничный трактор используется в качестве тяговой машины, достигается, например, на стерне при удельных тяговых усилиях $\varphi_t = 0,4-0,7$, когда тяговый к.п.д. трактора имеет значение не ниже $0,9\eta_t^{\max}$. Близкий к этому диапазон рабочих тяговых усилий принят в качестве основного при построении типоразмерного ряда сельскохозяйственных тракторов в СССР. Оптимальные тяговые усилия реализованы в конструкциях серийно выпускаемых машин.

Ряд особенностей работы землеройных агрегатов (циклический характер технологических процессов, большой вес навесных орудий, широкий диапазон грунтовых условий и др.) не позволяет, без существенных уточнений, применить к тракторам промышленного назначения методику, разработанную для сельскохозяйственных тракторов.

Работы по выбору параметров базовых тракторов для землеройных агрегатов выполнены К.А.Артемьевым, В.И.Баловицким, И.П.Бородачевым, А.А.Бромбергом, Ю.Б.Дейбеко, Н.Г.Добровским, А.Н.Зелениным, И.С.Кавыяровым, И.П.Керовым, Б.М.Позинным, А.З.Шарцем, А.А.Якиним и др. гами.

Имеющиеся рекомендации, основанные на анализа лучших выполненных конструкций тракторов, относятся, в основном, к выбору максимального тягового усилия, которое многими авторами принимается за основное рабочее. Вместе с тем экспериментально установлено, что в ряде случаев работа на передаче с максимальным тяговым усилием приводит к заметному снижению производительности.

В связи с этим задачи настоящего исследования формулируются следующим образом.

1. Установить зависимость производительности землеройного агрегата от основных параметров базового трактора.
2. Определить оптимальные значения тяговых усилий при работе землеройных агрегатов в различных грунтовых условиях.

3. Выявить возможности повышения производительности землеройных агрегатов на базе гусеничного трактора за счет улучшения его тяговой характеристики.

4. Исследовать возможности повышения производительности агрегата при неизменном значении тягового усилия на рабочей передаче.

Поскольку наиболее массовым землеройным агрегатом, в котором достаточно полно проявляются особенности работы промышленного трактора, является бульдозер, решение поставленных задач выполнено применительно к этому агрегату.

ГЛАВА II. ТЕОРЕТИЧЕСКОЕ ИССЛЕДОВАНИЕ ПРОИЗВОДИТЕЛЬНОСТИ ЗЕМЛЕРОЙНЫХ АГРЕГАТОВ

Производительность землеройного агрегата, работающего в циклическом режиме, описывается известной формулой:

$$\Pi = 3600 \frac{q}{T} \quad (1)$$

На основании анализа тягового баланса бульдозера и структуры его технологического цикла получены формулы для определения объема призыва волочения

$$q = \left\{ x_{mn} \varphi_a - [f_a (1 - x_{mn}) + f_{agon}] \right\} \frac{1 - \exp(-\frac{M_b \gamma e_n}{K})}{M_b \gamma} G_a \quad (2)$$

и времени цикла

$$T = \ell_p \left[\frac{\varphi_a + f_a}{75 N_{avg} \eta_m C_p (t - \delta)} + \frac{1}{V_{xx} C_{xx}} \right] \quad (3)$$

в зависимости от параметров трактора и его тягово-цепных свойств.

При выводе (2) принято, что размеры отвала бульдозера позволяют полностью использовать потенциальные возможности агрегата.

С помощью (2) и (3) производительность бульдозера записывается в виде:

$$\Pi = 3600 \left[1 - \exp \left(- \frac{M_b \gamma \ell_h}{K} \right) \right] \left\{ \varphi_{MH} \varphi_a - [f_a (1 - \varphi_{MH}) + f_{agon}] \right\} \sigma_a V_{xx} C_{xx} \cdot \frac{\ell_p M_b \gamma \left[1 + \frac{(\varphi_a + f_a) V_{xx} C_{xx}}{75 N_{avg} \eta_M C_p (1 - \delta)} \right]}{(4)}$$

Из (4) можно выделить сомножитель:

$$K_p = \left\{ \varphi_{MH} \varphi_a - [f_a (1 - \varphi_{MH}) + f_{agon}] \right\} \frac{V_{xx} C_{xx}}{1 + \frac{(\varphi_a + f_a) V_{xx} C_{xx}}{75 N_{avg} \eta_M C_p (1 - \delta)}}, \quad (5)$$

который, при прочих равных условиях, характеризует удельную производительность агрегата ($m^3/\text{час}$).

Для определения с помощью (5) оптимальных тяговых усилий найдена формула:

$$\varphi = \varphi_{max} \left[1 - (1 - \delta) \exp(a\delta) \right], \quad (6)$$

позволяющая достаточно точно описать экспериментальные зависимости буксования от удельной силы тяги трактора и удовлетворяющая ряду дополнительных требований (условия на границах, минимальное количество эмпирических коэффициентов — φ_{max} и a , общая функциональная связь во всем интервале δ и некоторые другие).

Примеры результатов обработки экспериментальных данных по формуле (6) представлены на рис.1.

По известной формуле

$$h_a = h_m \frac{\varphi_a}{\varphi_a + f_a} (1 - \delta) \quad (7)$$

и по (5) построены зависимости тягового к.п.д. агрегата h_a и коэффициента K_p от расчетной удельной силы тяги φ_a в с точностью 0,005 определены значения φ_a и φ_{kp} .

Расчеты выполнены на ЭВМ "Наира" при исходных данных:

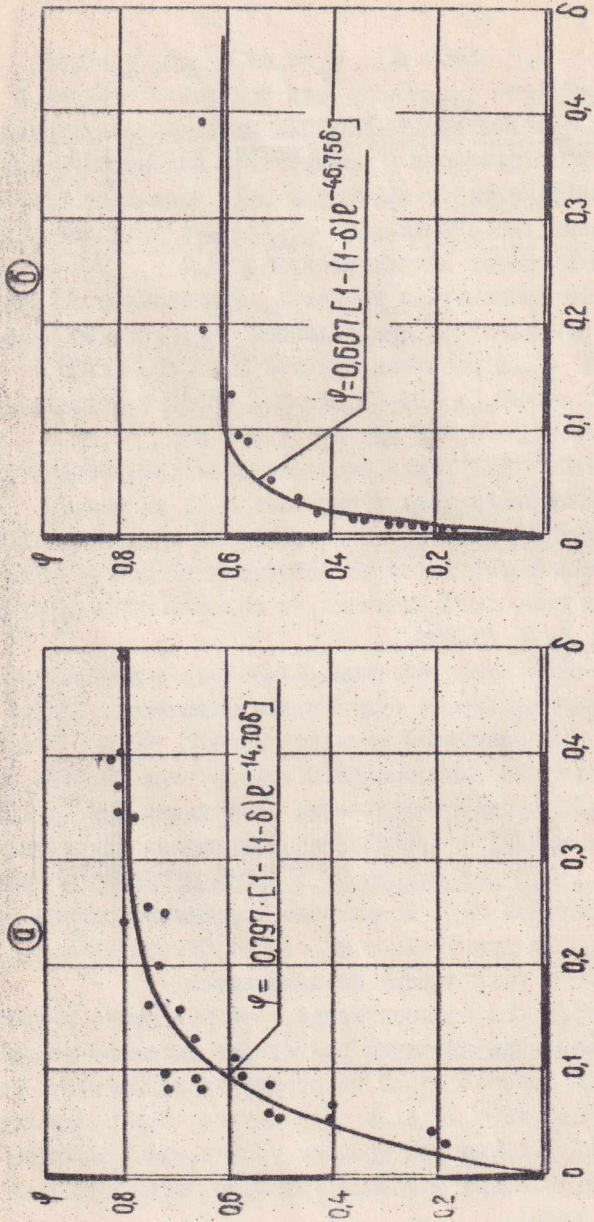


Рис. 1. Зависимость удельной силы тяги от буксованияния гусеничных тракторов с полужесткой подвеской:
 а - однолетний залежь (трактор Т-130)
 б - поге, подготовленное под посев (трактор Т-100М)

$N_H = 160$ л.с., $G_a = 16000$ кГ, $V_{ax} = 2,44$ м/сек, $\eta_M = 0,87$, $C_p = 0,9$, $C_{xx} = 0,97$, $f_a = 0,1$ и $f_{agon} = 0,12$, для грунтов с $\varphi_{max} = 0,9$ и $\varphi_{max} = 0,6$ (что соответствует предельным значениям коэффициентов сцепления для тракторов с полужесткой подвеской) с разными значениями коэффициента a в формуле (6), поскольку протекание кривых буксования для одинаковых φ_{max} весьма различно. Пример полученных зависимостей представлен на рис.2.

В результате выполненных расчетов установлено, что оптимальная удельная сила тяги φ_{kp} при заданном φ_{max} , слабо зависит от коэффициента a (в расчетах принято $a = -10,0 \pm -80,0$ для $\varphi_{max} = 0,9$ и $a = -30,0 \pm -60,0$ для $\varphi_{max} = 0,6$) и отличается от средних значений $\varphi_{kp} = 0,825$ при $\varphi_{max} = 0,9$ и $\varphi_{kp} = 0,58$ при $\varphi_{max} = 0,6$ не более 3%. Также несущественно изменяется φ_{kp} и при скоростях холостого хода в пределах 5-15 км/час.

Удельное тяговое усилие, оптимальное по производительности, не совпадает с оптимальным по тяговому к.п.д. Для принятых в настоящее время скоростей движения, в зависимости от грунта, φ_{kp} превосходит φ_a на 13-25%.

При работе агрегата с тяговыми усилиями, отличными от оптимальных, производительность существенно снижается. Так, на грунте с $\varphi_{max} = 0,9$ при расчетной удельной тяге $\varphi_a = 0,52$, что соответствует агрегату на базе трактора класса тяги 10 Тонн (бульдозер + рыхлитель), производительность составляет 82% от максимальной возможной, а при $\varphi_a = 1,1$ за счет недогрузки двигателя - 80%. На грунте с $\varphi_{max} = 0,6$ работа при $\varphi_a = 0,825$ приводит к снижению производительности на 22%. Исключение составляет случай работы в режиме перегрузки двигателя с $\chi_{min} = 1,0-1,07$ при $\varphi_a \approx \varphi_{kp}$, когда производительность практически не изменяется.

Анализ формулы (5) показал также, что при росте мощности двигателя и неизменном значении расчетного тягового усилия на рабочей передаче целесообразно пропорционально мощности увеличивать скорость холостого хода. В этом случае, при реализации возросших скоростей движения на прежнем уровне, можно ожидать увеличения производительности пропорционального росту мощности (скорости рабочего хода).

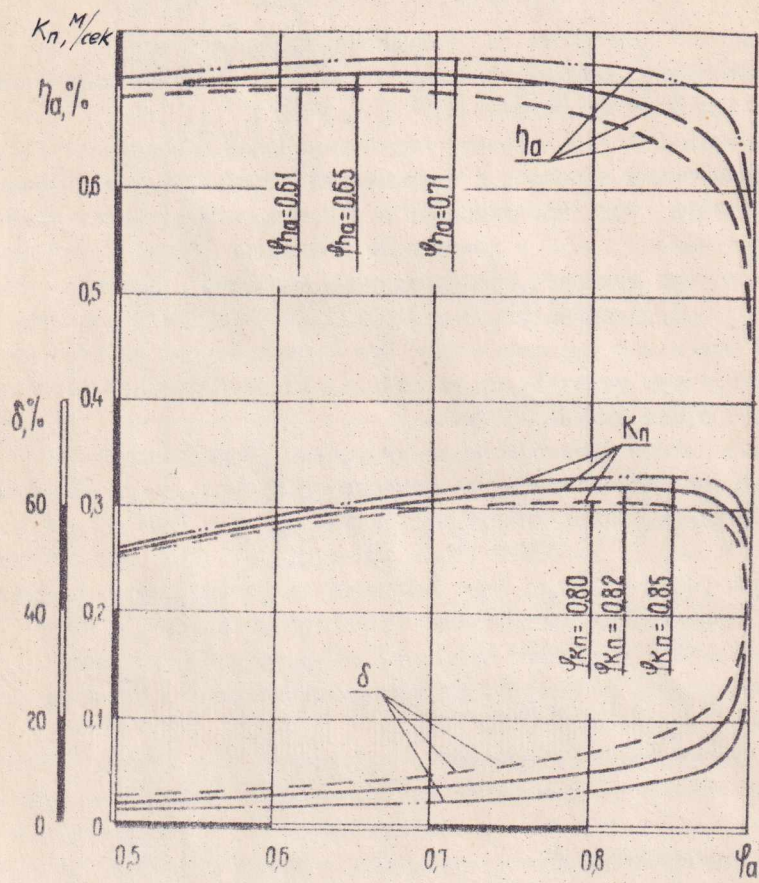


Рис.2. Зависимость тягового к.п.д. и коэффициента удельной производительности агрегата от удельной силы тяги ($\varphi_{\max} = 0,9$):

$\cdots \cdots \cdots \quad J = -15,0;$

$\text{--- --- ---} \quad 0 = -20,0;$

$\text{--- --- ---} \quad J = -30,0$

ГЛАВА III. ЭКСПЕРИМЕНТАЛЬНЫЕ ИССЛЕДОВАНИЯ ПРОИЗВОДИТЕЛЬНОСТИ ПРОМЫШЛЕННЫХ ТРАКТОРНЫХ АГРЕГАТОВ

Раздел I. Методика экспериментальных исследований

Поставленные задачи определили выбор экспериментальных объектов и методики исследований.

Для исследования закономерности изменения производительности бульдозерного агрегата в зависимости от тяговых усилий базового трактора был спроектирован и изготовлен экспериментальный образец трактора Т-130 с двигателем мощностью 160 л.с., тяговая характеристика которого представлена в таблице I. Трактор укомплектован бульдозерным отвалом Д-532 длиной 3200мм с дополнительным козырьком высотой 300мм. При экспериментах по агрегатированию трактор испытывался со специально изготовленным отвалом того же профиля длиной 3600мм.

Для изучения закономерности изменения производительности бульдозерных агрегатов в зависимости от уровня энергонасыщенности использовались тракторы класса тяги 10 Тонн С-100ПП ($N_H = 100$ л.с.), Т-100МПП ($N_H = 108$ л.с.) и Т-130 с двигателями мощностью 140 и 160 л.с. Рост мощности двигателей базовых тракторов сопровождался увеличением скоростей рабочего ($V_p = 2,29 - 3,7$ км/час) и холостого ($V_{xx} = 7,50 - 9,94$ км/час) ходов, а расчетные усилия на рабочей передаче оставались практически неизменными ($P_{kpt} = 9260 - 9500$ кГ).

Для исследования параметров, характеризующих режимы работы агрегата, применена измерительная аппаратура, которая включала в себя осциллограф Н-700, усилитель ВАНЧ-2М, преобразователь ПНП-2, токосъёмник конструкции ИАТИ, а также тензозонд (ведущий вал коробки передач) для замера крутящего момента и датчик скорости вращения этого вала. Для замера числа оборотов ведущих колес использовались импульсные датчики с электромеханическими счетчиками. Питание аппаратуре осуществлялось от четырех кислотных аккумуляторных батарей (24 в.).

Запись процессов, характеризующих режим работы агрегата, осуществлялась на фотобумаге шириной 120мм.

Таблица 1

Параметры агрегатов на базе трактора Т-130 с двигателями мощностью 160 л.с.
со стандартной и экспериментальной трансмиссией.

Пе- ре- дач	Стандартная трансмиссия			Экспериментальная трансмиссия		
	Скорость движения (расчетная) - м/час	Тяговое усилие (расчетное) трактора - агрегата - $P_{\text{КРТ}}$, кГ	Река, м	Скорость движения (расчетная) - км/час	Тяговое усилие (расчетная) - км/час	Река, м
I	3,70	3260	9080	2,82	15310	15310
II	4,14	7540	7310	2,75	12660	12660
III	5,16	6260	6180	3,22	10660	10660
IV	6,10	5160	4980	3,82	8810	8810
V	7,45	4050	3820	4,67	6990	6990
VI	8,87	3220	2990	5,56	5710	5710
VII	10,25	2650	2420	6,42	4760	4760
VIII	12,22	2050	1820	7,65	3810	3810
<hr/>						
I	3,56	9600	9870	3,14	10960	10960
II	4,94	6660	6480	4,87	7580	7580
III	7,19	4240	4010	6,35	4860	4860
IV	9,32	2780	2550	8,80	8160	8160

Регистрирующая аппаратура была установлена в передвижной лаборатории на базе автомобиля ЗИЛ-157.

Тарировка аппаратуры производилась до и после проведения опытов. Тарировочные диаграммы во всех случаях практически совпадали.

Исследования производительности агрегатов выполнены на суглинистых грунтах, характеристики которых (средние значения) приведены в таблице 2.

Таблица 2

Участок	I	II	III ^{x/}	IV	V	VI
Плотность по ударнику ДорНИИ - С	10,0	5,0	11,0	6,0	11,0	7,4
Относительная влажность - W, %	16,6	28,1	13,2	19,0	15,6	24,0
Объёмный вес - γ, кг/м ³	2510	1920	2060	1860	1920	1900

Производительность определялась в соответствии с рекомендациями ГОСТ 10792-64 "Бульдозеры тракторные для земляных работ. Методы испытаний".

В ходе каждого опыта измерялись: объём разработанного и перемещенного грунта, длина и время элементов каждого рабочего цикла, количество израсходованного топлива.

По результатам измерений определялись производительность P_0 и P_r , объём призмы волочения Q_p и Q_r , скорости движения V_p^g и V_{xx}^g , коэффициенты потери скорости C_0 и C_{xx} , удельный расход топлива ϑ_p и ϑ_r :

^{x/} Участок III характерен тем, что на нем имеются два четко выраженных горизонта: до глубины 0,75м плотность составляла 10-12 ударов, а на остальной глубине до дна траншеи - 5-7 ударов.

$$\Pi_n = 3600 \frac{V_{nep}}{T_p}, \quad \Pi_p = 3600 \frac{V_{parp}}{T_p - \sum t_{np}}, \quad q_n = \frac{V_{nep}}{\Pi_n}, \quad q_p = \frac{V_{parp}}{\Pi_p},$$

$$V_p^g = \frac{\sum l_p}{\sum t_p}, \quad V_{xx}^g = \frac{\sum l_p}{\sum t_{xx}}, \quad C_o = \frac{V_p}{V_p^g}, \quad C_{xx} = \frac{V_{xx}}{V_{xx}^g}, \quad q_n = \frac{Q}{\Pi_n}, \quad q_p = \frac{Q}{\Pi_p}.$$

Ошибки измерений оценивались следующими величинами: производительности - 2,41%, объема призмы волочения - 1,22%, скорости - 3,6%.

Опыты по изучению режимов работы агрегата проводились на участках I и II на различных передачах с имитацией набора и транспортировки грунта (без выезда на кавальер). В ходе этих опытов измерялись момент сопротивления агрегата, приведенный к ведущему валу коробки передач - M_c , скорость вращения этого вала - n , число оборотов ведущих колес при рабочем ходе и откате - Π и Π_{xx} , время прохождения мерного участка пути - t' .

По результатам измерений определялись средние значения $M_c = \bar{M}_g$, $\bar{\Pi}$ и \bar{n} , средние квадратичные отклонения b_{M_c} и b_n , величина коэффициентов потери скорости C_o , C_p и C_δ :

$$\bar{P}_k = \frac{\bar{M}_g i_{TP} \eta_M}{\tau_k}, \quad C_p = \frac{\bar{n}}{n}, \quad C_\delta = \frac{C_o}{C_p} \quad \text{и} \quad C_\delta = \frac{n_{xx}}{\bar{n}_p}.$$

Ошибка измерений M_c не превышала 4,66%, а n - 3,06%.

Раздел 2. Результаты экспериментальных исследований

В результате экспериментальных исследований получены зависимости объема призмы волочения от расчетных тяговых усилий, представленные на рис.3, из которых видно, что возрастание тягового усилия вызывает пропорциональное увеличение объема призмы волочения. Это увеличение происходит до определенного предела, после которого объем призмы не изменяется. Происходит так называемое "насыщение", причиной которого являются недостаточные размеры отвала бульдозера. Насыщение или ограничение по

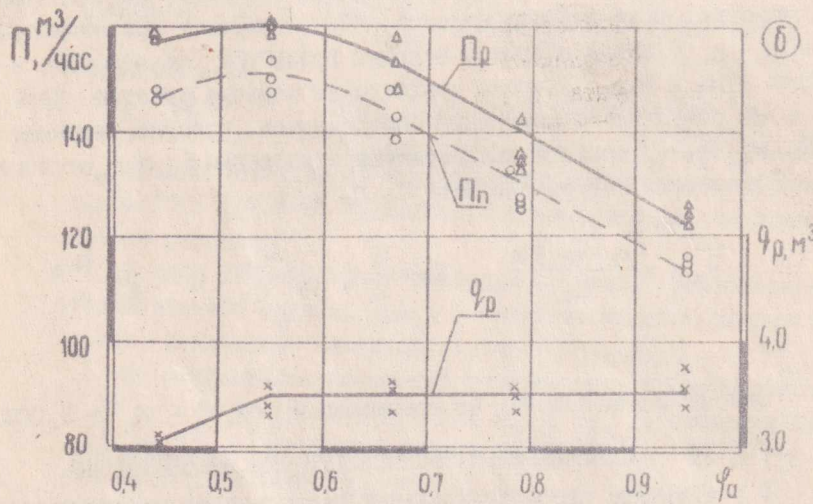
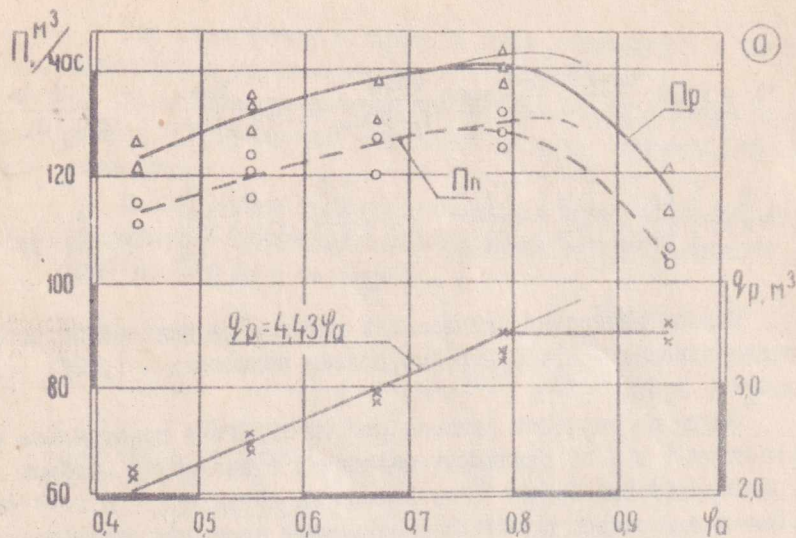


Рис. 3. Зависимость производительности и объема глины волочения бульдозера от расчетной удельной силы тяги (длина отвала 3200мм):

а - плотный грунт; б - слабый грунт

рабочему органу наступает для отвала длиной 3200мм на плотном грунте^{X/} при $\varphi_a = 0,79$, а на слабом - при $\varphi_a = 0,55$. То, что ограничивающим является рабочий орган, подтверждается характером работы двигателя, который большую часть времени при указанных тяговых усилиях работает в зоне перегрузки. На плотном грунте суммарная частота скорости вращения коленчатого вала двигателя в этой зоне при $\varphi_a = 0,79$ составляет 0,763, на слабом при $\varphi_a = 0,55-0,558$. Таким образом ограничение по рабочему органу на обоих грунтах наступает раньше, чем по сцеплению. Это подтверждается также ростом объема приемы волочения и увеличением часового расхода топлива при работе на слабом грунте с отвалом длиной 3600мм.

В таблице 3 и на рис. 3 представлены данные по производительности агрегатов ($\text{м}^3/\text{час}$), а на рис. 4 - значения коэффициента относительной производительности:

$$K_{\text{оп}} = \frac{\Pi_{\text{оп}} \varphi}{\Pi_{\text{пах}}} \quad (8)$$

в зависимости от расчетной удельной силы тяги.

Из данных таблицы 3 и рис. 3 и 4 следует, что производительность, как функция тягового усилия, на участках I и II имеет четко выраженный максимум. Наибольшая величина производительности достигается на слабом грунте при $\varphi_a = 0,55$ ($\Pi_{\text{п}} = 150 \text{ м}^3/\text{час}$, $\Pi_{\text{р}} = 160,3 \text{ м}^3/\text{час}$), на плотном - при $\varphi_a = 0,79$ ($\Pi_{\text{п}} = 128 \text{ м}^3/\text{час}$, $\Pi_{\text{р}} = 141 \text{ м}^3/\text{час}$).

При работе с тяговыми усилиями, отличными от указанных выше, производительность существенно снижается. Так, на слабом грунте при работе с $\varphi_a = 0,79$ производительность составляет $\Pi_{\text{п}} = 0,856 \times \Pi_{\text{пах}}$, на плотном - увеличение удельной силы тяги до $\varphi_a = 0,95$ приводит к уменьшению производительности до 91,6% от $\Pi_{\text{пах}}$, а при $\varphi_a = 0,44$ - до 88,3%.

В опытах с отвалом длиной 3600мм на участке II производительность возросла на 13,2%, а тяговое усилие при максимальной производительности - на 22%.

На участке III наибольшая производительность агрегата получе-

^{X/} Слабые грунты из участка I будем называть "плотный", II - "слабый", III - "средний".

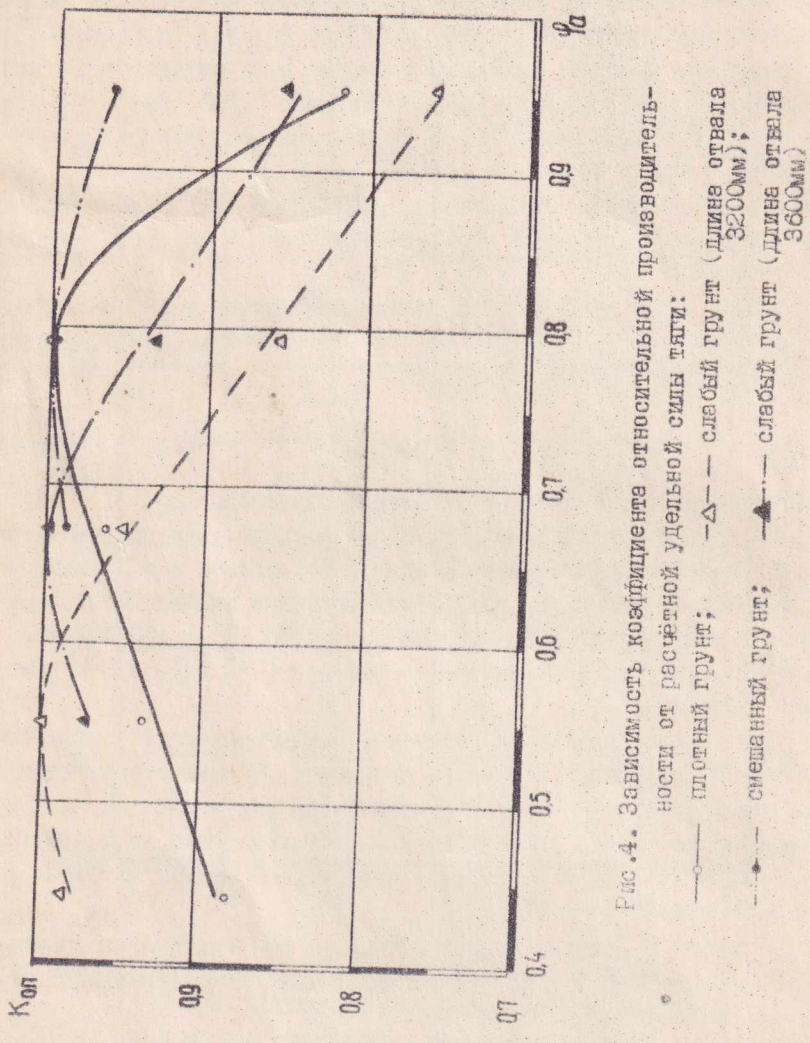


Рис. 4. Зависимость коэффициента относительной производительности от расчётной удельной силы тяги:
 Плотный грунт: Δ — слабый грунт (длина отвала 3200мм);
 Смешанный грунт: \bullet — слабый грунт (длина отвала 3600мм)

Таблица 3

Расчетная удельная сила тяги - φ_a		0,44	0,55	0,67	0,79	0,95
Плотный грунт (участок I)	P_n	113,0	120,0	123,5	128,0	104,5
	P_p	123,9	131,2	134,3	141,0	116,8
Слабый грунт (участок II)	P_n	147,0	150,0	148,0	128,5	115,0
	P_p	158,6	160,3	158,7	137,3	123,3
Длина отвала 3600мм	P_n	-	166,0	170,0	158,0	146,0
	P_p	-	174,0	181,2	168,7	158,0
Слабый грунт (участок III)	P_n	-	-	113,7	115,0	110,0
	P_p	-	-	125,3	125,7	120,0

на при $\varphi_a = 0,79$ ($P_n = 115,0 \text{ м}^3/\text{час}$, $P_p = 125,7 \text{ м}^3/\text{час}$). Однако максимум выражен здесь весьма нечетко. Так при $\varphi_a = 0,95$ $P_n = 0,956 P_{p\max}$, а при $\varphi_a = 0,67$ — $P_n = 0,988 P_{p\max}$, т.е. наблюдается практически постоянная производительность в широком диапазоне тяговых усилий. Это явление объясняется тем, что определенное тяговое усилие, будучи оптимальным для грунта одной плотности, переводит агрегат в неоптимальный режим на участке с другой плотностью.

Результаты экспериментов позволяют произвести проверку зависимостей (4) и (5), полученных при теоретическом анализе.

Поскольку эти зависимости справедливы лишь при отсутствии ограничений по рабочему органу и сцеплению гусеничного движителя с грунтом, рассмотрим результаты опытов на плотном грунте с $\varphi_a \leq 0,79$.

При теоретическом исследовании и определении оптимальных тяговых усилий мы полагали коэффициент пропорциональности

$$A = \frac{1 - \exp\left(-\frac{M_B \gamma \varphi_n}{K}\right)}{\ell_p M_B \gamma} \quad (9)$$

в формуле (4) неизменным. Проверим это положение (постоянство коэффициента A будет служить также подтверждением правильности формул (4) и (5)).

В таблице 4 представлены средние значения коэффициента K_p при работе агрегата на плотном грунте, вычисленные по формуле (5), а также коэффициента A, подсчитанные, исходя из фактически полученной производительности (таблица 3):

$$A(3,6 \cdot 10^3) = \frac{\Pi_p}{K_p G_a}. \quad (10)$$

Таблица 4

Расчетное значение удельной силы тяги - φ_a		0,44	0,55	0,67	0,79
По факти- ческим ско- ростям дви- жения	K_p , м/сек	0,316	0,349	0,355	0,357
	$A(3,6 \cdot 10^3)$, $\text{м}^2/\text{кг}$	0,0244	0,0239	0,0236	0,0246
По осред- ненным значениям C_o и C_{xx}	K_p , м/сек	0,291	0,317	0,338	0,355
	$A(3,6 \cdot 10^3)$, $\text{м}^2/\text{кг}$	0,0264	0,0258	0,0248	0,0247

Из таблицы 4 следует, что коэффициент пропорциональности A меняется несущественно, отклоняясь от средней величины не более 2,08%, когда расчет выполнен, исходя из фактических скоростей движения, и 3,94% - при вычислениях по осредненным значениям коэффициентов потери скорости C_o и C_{xx} .

Полученные результаты также свидетельствуют о том, что в диапазоне скоростей движения $V_p^d = 2,0-3,7$ км/час ($V_p = 2,75-4,7$ км/час) влияние скорости и площади сечения стружи резания на удельное сопротивление копанию грунта несущественно. Это оправдывает допущения $K=Const$ и $M_b=Const$ и согласуется с результатами лабораторных исследований Н.Г.Домбровского, А.Н.Зеленина, Г.И.Юлиона, А.А. Яркина и др.

Подтвердив правильность формулы (5), можем с ее помощью оценить значения оптимальных тяговых усилий.

Удельная сила тяги $\varphi_a = 0,95$ на этом грунте близка к пределу по скреплению, т.к. средние за рабочий ход потери скорости из-за буксования достаточно велики ($C_d = 0,67-0,72$), а в период набора призыва имело место буксование вплоть до срыва грунта. Поскольку теоретическими расчетами по формуле (5) установлено, что для плотных грунтов $\varphi_{kp} \approx 0,9\varphi_{max}$, а расчетная удельная сила тяги $\varphi_a = 0,79$ не является предельной для данного грунта, оптимальное значение удельной силы тяги можно оценить следующими границами: $0,79 < \varphi_a \leq 0,85$. Это достаточно близко к определенному теоретически значению $\varphi_{kp}^{max} = 0,825$.

В результате экспериментов установлено, что при работе с тяговыми усилиями, близкими к оптимальным, удельный расход топлива имеет тенденцию к снижению. Так, например, на плотном грунте минимальный удельный расход топлива $\vartheta_p = 161 \text{ Г/м}^3$ зафиксирован на второй передаче ($\varphi_a = 0,79$), где получена наибольшая производительность.

В таблице 5 представлены данные по производительности бульдозерных агрегатов на базе тракторов класса тяги 10 Тонн с различной энергонасыщенностью.

Из приведенных данных следует, что производительность бульдозера на тракторе Т-130 с двигателем мощностью 140 л.с. возросла по сравнению с агрегатами на базе тракторов С-100 и Т-100М пропорционально мощности. Несколько больший рост производительности агрегата на базе трактора Т-130 при повышении его мощности до 160 л.с. объясняется, по-видимому, увеличенным приведенным моментом инерции маховика и ведущих деталей муфты скрепления. По этой причине средняя загрузка двигателя возросла на 11%, а

Таблица 5

Участок	Марка трактора	Номинальная мощность двигателя (при опытах) N_n , л.с.	Производительность Пп, $m^3/\text{час}$	Объём призмы волочения $Q_{Пп}, m^3$	Отношения:	
					мощностей двигателей	производительности
Iу	C-100ПП	108,8	78,0	2,61	1,0	1,0
	T-130	138,5	104,0	2,60	1,84	1,34
у	T-100МП	111,5	95,0	2,70	1,0	1,0
	T-130	139,5	116,0	2,52	1,25	1,22
VI	T-130	139,5	116,5	3,0	1,0	1,0
	T-130	160,2	140,5	3,2	1,15	1,205

призыва волочения с 3,0 до 3,2 m^3 (в остальных случаях призма волочения оставалась практически неизменной).

Таким образом эти эксперименты подтвердили положение о целесообразности пропорционального увеличения скоростей рабочего и холостого ходов в случае роста энергонасыщенности трактора при неизменном значении тягового усилия на рабочей передаче.

ГЛАВА IV. ПРАКТИЧЕСКИЕ РЕКОМЕНДАЦИИ

Найденные в результате теоретического анализа и проведенных экспериментов оптимальные значения тяговых усилий могут быть использованы для решения практических задач, связанных с определением рабочего диапазона и построением тяговой характеристики трактора, агрегатируемого с землеройными орудиями.

Рабочий диапазон тяговых усилий можно расположить между удельной силой тяги φ_t^{max} , оптимальной для наиболее тяжелого агрегата с A_a^{max} при использовании его на плотном грунте, и силой тяги φ_t^{min} , оптимальной для наиболее легкого агрегата с A_a^{min} на слабых грунтах:

$$D_P = \frac{\varphi_{\tau}^{\max}}{\varphi_{\tau}^{\min}} = \frac{\lambda_a^{\max} (\varphi_a^{\max} + f_a) - f_t}{\lambda_a^{\min} (\varphi_a^{\min} + f_a) - f_t} \quad (11)$$

На рис.5 приведен график, построенный по формуле (11), с помощью которого можно определить значения и диапазон удельных сил тяги трактора для агрегатов с различной величиной коэффициента эксплуатационного веса λ_a .

В таблице 6 приведены существующие тяговые усилия промышленных тракторов и рекомендуемые на основании результатов настоящего исследования.

Таблица 6

Передачи	T-4П		T-130		T-180	
	Тяговое усилие трактора (расчетное) - P_{kpt} , кг					
	Рекомендуемое	Существующее	Рекомендуемое	Существующее	Рекомендуемое	Существующее
I	9640	-	14950	-	17730	-
II	7900	-	12380	-	14250	13820
III	6420	6025	10200	9260	11400	-
IV	5200	5075	8350	7540	9050	7870

При расчетах за наиболее тяжелый агрегат принят трактор, укомплектованный бульдозерным оборудованием и рыхлителем, а за наиболее легкий - трактор, приспособленный для работы с прицепными машинами. Выбор количества передач в установленном диапазоне обеспечивает минимальную загрузку двигателя по крутящему моменту в пределах $\chi_{mn} = 0,81-0,88$ (по Д.А.Чудакову).

Тяговый диапазон, показанный в таблице 6 и на рис.5, охватывает зону рабочих передач на основных видах землеройных работ. Полный же диапазон тяговых усилий (и скоростей движения) должен назначаться в более широких пределах, исходя из необходимости обеспечения универсальности трактора.

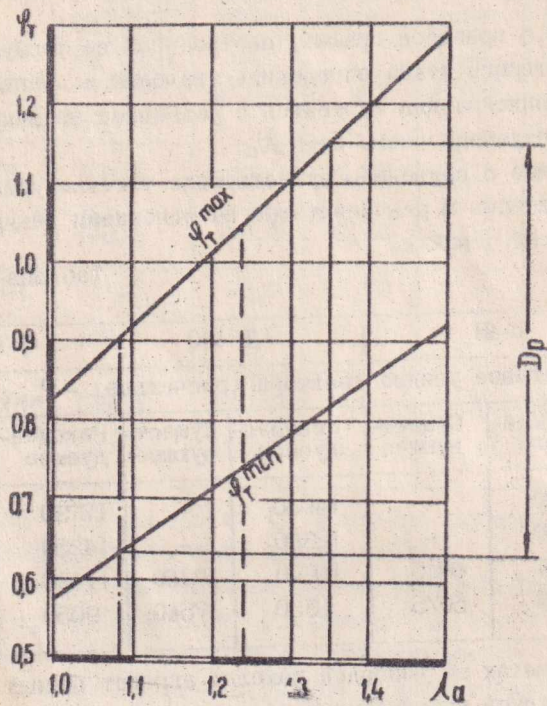


Рис.5. Зависимость оптимальных значений расчётной удельной силы тяги трактора от коэффициента эксплуатационного веса агрегата.

— Бульдозер+рыхлитель
 - - - Бульдозер
 - · - Прицепной агрегат } на базе
 трактора Т-130

ЗАКЛЮЧЕНИЕ

В результате выполненных теоретических и экспериментальных исследований разработана методика определения производительности землеройного агрегата в зависимости от основных параметров базового трактора.

Найдены оптимальные значения удельных тяговых усилий гусеничного промышленного трактора с полужесткой подвеской

$\varphi_t \approx 0,63-1,15$, что существенно отличается от тяговых усилий, рекомендуемых для тракторов сельскохозяйственного назначения – $\varphi_t = 0,4-0,7$.

Улучшение тяговой характеристики и агрегатирования трактора Т-130 в соответствии с рекомендациями, выработанными в диссертации, позволяет увеличить производительность бульдозерного агрегата до 14-18% при той же мощности двигателя и обеспечивает экономический эффект от годового выпуска тракторов 12,8 млн.руб. в год.

Улучшение тяговых характеристик тракторов Т-4И и Т-130 в соответствии с таблицей 6 также может дать существенный эффект.

Основные положения диссертации опубликованы в следующих работах.

1. Результаты испытаний нового гусеничного трактора Т-130 (соавтор М.В.Яковлев). "Тракторы и сельхозмашини", 1962, №5.
2. Шасси мощных зарубежных тракторов (соавторы М.И.Злотник и И.С.Кавьяров). ЦИНТИАМ, 1963.
3. О выборе рабочих передач промышленных тракторов (соавторы М.И.Злотник, И.С.Кавьяров, Б.М.Позин). "Тракторы и сельхозмашини", 1969, № 1.
4. Результаты испытаний бульдозера на базе трактора класса тяги 10 Тонн Т-130 с двигателем мощностью 160 л.с. (соавторы О.В.Малофеев и М.В.Яковлев). "Строительные и дорожные машины", 1969, № 3.

5. Использование сельскохозяйственных гусеничных тракторов высокой энергонасыщенности на землеройных работах (соавторы И.С.Кавьяров, Б.М.Позин). "Механизация и электрификация социалистического сельского хозяйства", 1970, № 1.

6. Гусеничный трактор (соавторы Ю.И.Данилов, И.С.Кавьяров и др.). Свидетельство на промышленный образец, № 626 от 31.Ш-1969.

7. Определение оптимальных значений тяговых усилий и удельной мощности гусеничных тракторов промышленного назначения (соавтор Б.М.Позин). Сборник докладов на межвузовской конференции в БИИ (в печати).

8. Исследования производительности бульдозерного агрегата с различными значениями расчетных тяговых усилий на рабочих передачах (соавторы Н.Г.Любимова, Б.М.Позин, Г.С.Сартаков). Сборник "Вопросы конструирования и исследования тракторов и тракторных двигателей", Челябинск, Южно-Уральское издательство (в печати).

9. Рациональные пути реализации мощности промышленных гусеничных тракторов (соавтор Позин Б.М.). Сборник "Вопросы конструирования и исследования тракторов и тракторных двигателей", Челябинск, Южно-Уральское издательство (в печати).

Результаты работы доложены на:

1. Межвузовской научной конференции по расчету и проектированию трансмиссии автомобилей, тракторов и тепловозов в БИИ, 1968, г.Минск (тезисы опубликованы).

2. XXIII научно-исследовательской конференции МАДИ, 1969, г.Москва (тезисы опубликованы).

3. Научно-технической конференции ЧМЭСХ, 1969, г.Челябинск.

4. XXII и XXIII научно-технических конференциях ЧИИ, 1969-1970, г.Челябинск.

5. Технических советах ОГК ЧТЗ им.В.И.Ленина, 1968-1970, г.Челябинск.

ФО02275 - 1/УП-70г. Сдано в печать 3/УП-70г. Формат 60x90/16. Объем 4,75 печ.л.
Отпечатано на ротапринте ЧПИ. Тираж 120. Заказ № 131.